

Ein- und Ausgabe: Offset-Reflektiv-System ORS18a für relativen CIELAB-Bunton  $h_{ab,a,rel} = h_{ab}/360 = 102/360 = 0.28$

$H^*_ = Y25G_ -$

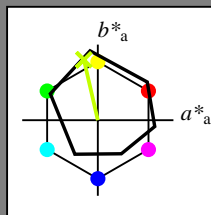
Daten für jede Geräte- (d) oder  
 Elementarfarbe (e):

$HIC^*_ -$

Buntontext für die Farben  
 dieser Seite:

$H^*_ = Y25G_ -$

Dreiecks-Helligkeit  $T^*$



**ORS18a; adaptierte CIELAB-Daten**

Name	$L^*=L^*_a a^*_a$	$b^*_a$	$C^*_{ab,a}$	$h^*_{ab,a}$	
R <sub>-,Ma</sub>	47.9	65.3	50.5	82.6	37
Y <sub>-,Ma</sub>	90.3	-10.2	91.7	92.3	96
G <sub>-,Ma</sub>	50.9	-62.8	34.9	71.9	150
C <sub>-,Ma</sub>	58.6	-30.3	-45.0	54.2	236
B <sub>-,Ma</sub>	25.7	31.0	-44.4	54.2	305
M <sub>-,Ma</sub>	48.1	75.2	-8.3	75.7	353
N <sub>-,Ma</sub>	18.0	0.0	0.0	0.0	0
W <sub>-,Ma</sub>	95.4	0.0	0.0	0.0	0
R <sub>-,CIE</sub>	39.9	58.7	27.9	65.0	25
Y <sub>-,CIE</sub>	81.2	-2.8	71.5	71.6	92
G <sub>-,CIE</sub>	52.2	-42.4	13.6	44.5	162
B <sub>-,CIE</sub>	30.5	1.4	-46.4	46.4	271

Daten für Maximalfarbe (Ma):

$LabCh^*_{-,Ma}$ : 83 -18 79 81 102

$HIC^*_{-,Ma}$ : Y25G\_100\_100\_

$rgbic^*_{-,Ma}$ :

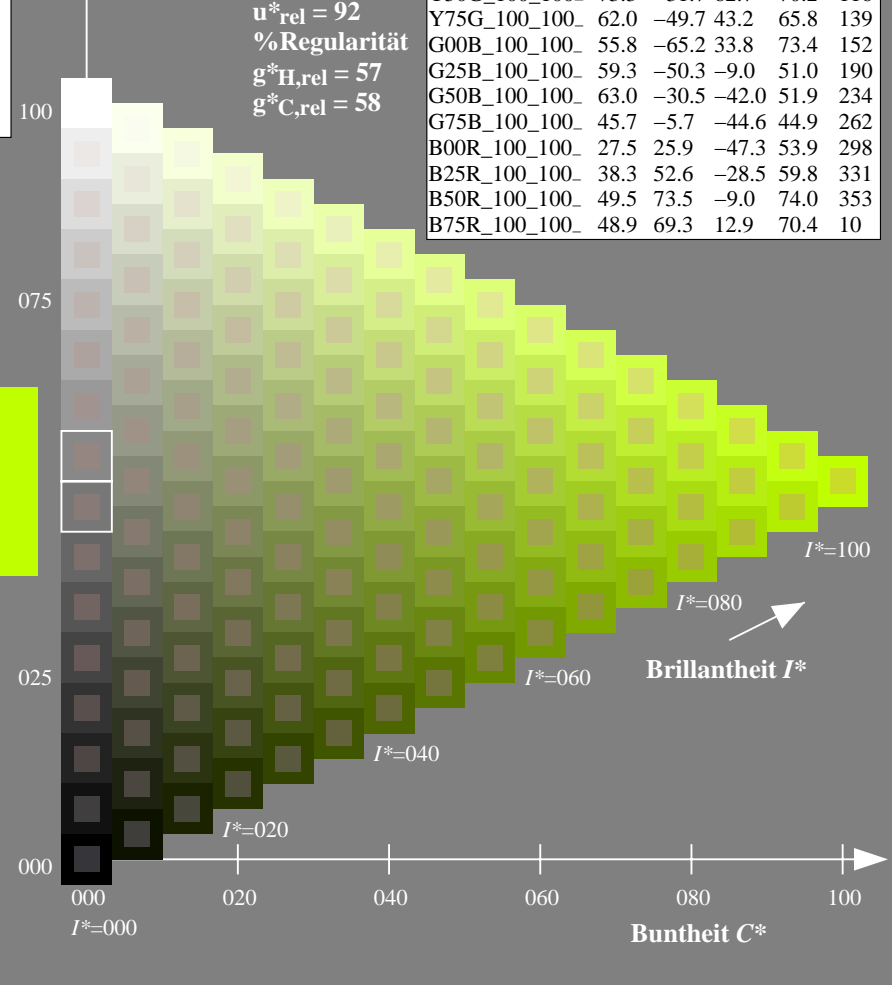
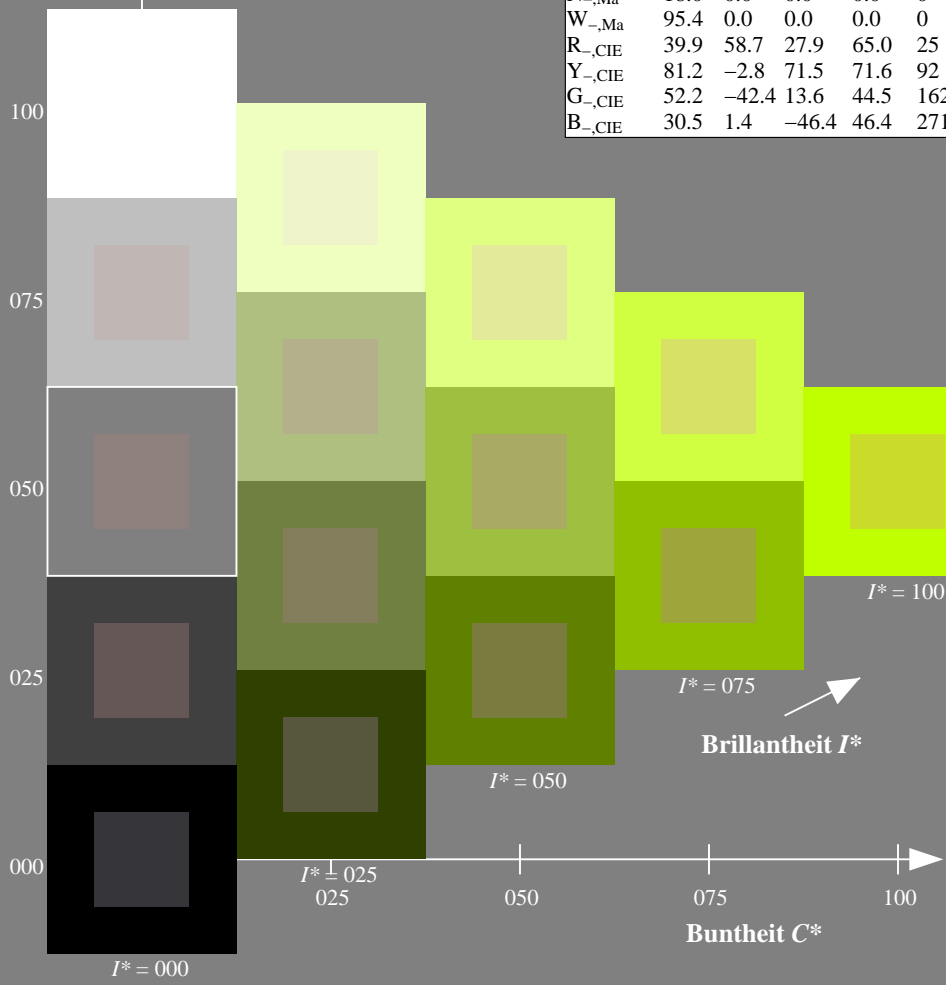
0.76 1.0 0.0 1.0 1.0

Dreiecks-Helligkeit  $T^*$

%Umfang  
 $u^*_{rel} = 92$   
 %Regularität  
 $g^*_{H,rel} = 57$   
 $g^*_{C,rel} = 58$

**ORS20a; adaptierte CIELAB-Daten**

$H^*_ -$	$L^*=L^*_a a^*_a$	$b^*_a$	$C^*_{ab,a}$	$h^*_{ab,a}$	
R00Y_100_100_	48.4	66.1	40.2	77.3	31
R25Y_100_100_	56.8	48.0	50.5	69.6	46
R50Y_100_100_	68.6	25.0	63.9	68.6	68
R75Y_100_100_	80.6	4.8	77.2	77.3	86
Y00G_100_100_	90.2	-9.6	88.2	88.7	96
Y25G_100_100_	83.3	-18.4	79.9	81.9	102
Y50G_100_100_	73.2	-31.7	62.7	70.2	116
Y75G_100_100_	62.0	-49.7	43.2	65.8	139
G00B_100_100_	55.8	-65.2	33.8	73.4	152
G25B_100_100_	59.3	-50.3	-9.0	51.0	190
G50B_100_100_	63.0	-30.5	-42.0	51.9	234
G75B_100_100_	45.7	-5.7	-44.6	44.9	262
B00R_100_100_	27.5	25.9	-47.3	53.9	298
B25R_100_100_	38.3	52.6	-28.5	59.8	331
B50R_100_100_	49.5	73.5	-9.0	74.0	353
B75R_100_100_	48.9	69.3	12.9	70.4	10



Siehe ähnliche Dateien: <http://130.149.60.45/~farbmetrik/QG47/QG47.HTM>  
 Technische Information: <http://www.ps.bam.de> oder <http://130.149.60.45/~farbmetrik>

TUB-Registrierung: 20130201-QG47/QG47LONP.PDF /.PS  
 Anwendung für Messung von Offsetdruck-Ausgabe

TUB-Material: Code=rh4ta

Ein- und Ausgabe: Offset-Reflektiv-System ORS18a für relativen CIELAB-Bunton  $h_{ab,a,rel} = h_{ab}/360 = 101/360 = 0.28$

$H^*_d = Y25G_d$

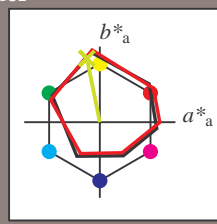
Daten für jede Geräte- (d) oder Elementarfarbe (e):

$HIC^*_d$

Buntoncode für die Farben dieser Seite:

$H^*_d = Y25G_d$

Dreiecks-Helligkeit  $T^*$



ORS20a; adaptierte CIELAB-Daten

Name	$L^*=L^*_a a^*_a$	$b^*_a$	$C^*_{ab,a}$	$h^*_{ab,a}$
R <sub>d, Ma</sub>	45.4	70.9	44.8	83.9
Y <sub>d, Ma</sub>	87.8	-10.2	95.4	96.0
G <sub>d, Ma</sub>	50.0	-65.0	29.6	71.4
C <sub>d, Ma</sub>	56.8	-25.5	-41.5	48.7
B <sub>d, Ma</sub>	25.0	29.5	-40.4	50.0
M <sub>d, Ma</sub>	46.1	79.3	-0.2	79.3
N <sub>d, Ma</sub>	24.3	0.0	0.0	0.0
W <sub>d, Ma</sub>	95.6	0.0	0.0	0.0
R <sub>d, CIE</sub>	39.9	58.7	27.9	65.0
Y <sub>d, CIE</sub>	81.2	-2.8	71.5	71.6
G <sub>d, CIE</sub>	52.2	-42.4	13.6	44.5
B <sub>d, CIE</sub>	30.5	1.4	-46.4	46.4

Daten für Maximalfarbe (Ma):

$LabCh^*_{d, Ma}$ : 81 -17 84 86 101

$HIC^*_{d, Ma}$ : Y25G\_100\_100d

$rgbic^*_{d, Ma}$ :

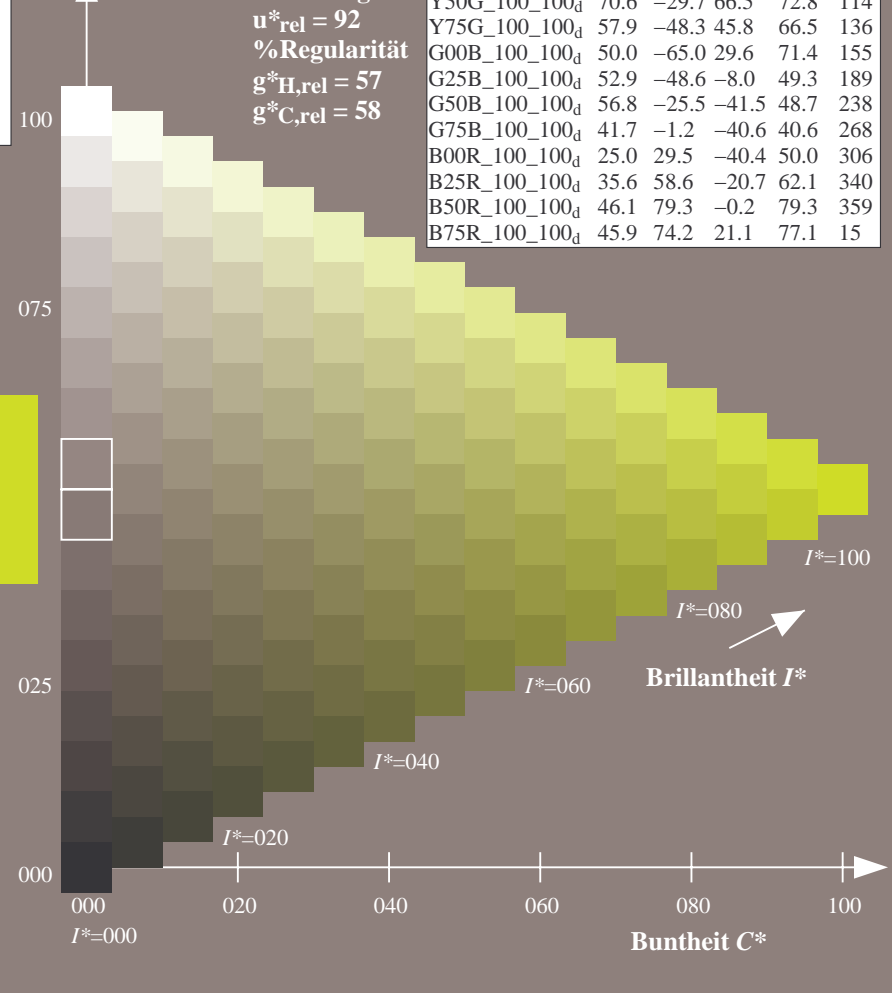
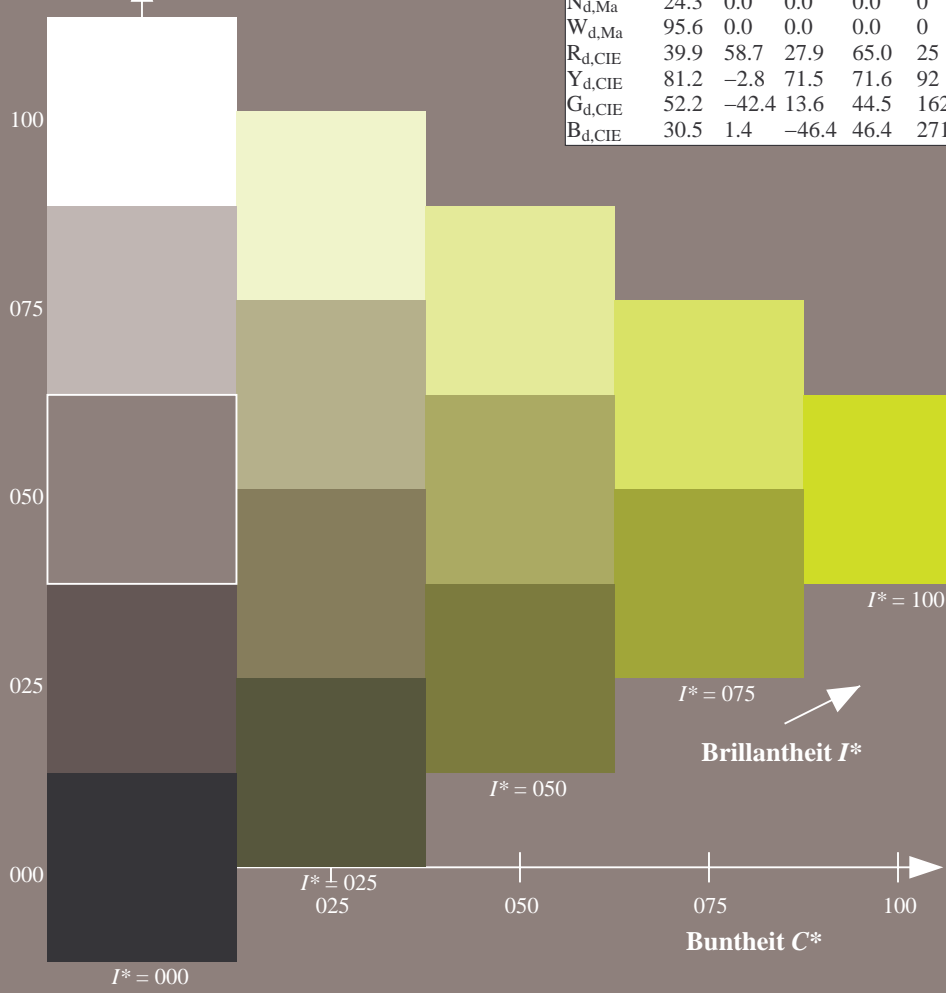
0.76 1.0 0.0 1.0 1.0

Dreiecks-Helligkeit  $T^*$

%Umfang  
 $u^*_{rel} = 92$   
%Regularität  
 $g^*_{H, rel} = 57$   
 $g^*_{C, rel} = 58$

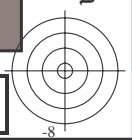
ORS20a; adaptierte CIELAB-Daten

$H^*_d$	$L^*=L^*_a a^*_a$	$b^*_a$	$C^*_{ab,a}$	$h^*_{ab,a}$
R00Y_100_100d	45.4	70.9	44.8	83.9
R25Y_100_100d	53.0	53.4	54.8	76.5
R50Y_100_100d	64.9	28.9	68.6	74.5
R75Y_100_100d	78.6	4.3	84.7	84.8
Y00G_100_100d	87.8	-10.2	95.4	96.0
Y25G_100_100d	81.2	-17.0	84.3	86.0
Y50G_100_100d	70.6	-29.7	66.5	72.8
Y75G_100_100d	57.9	-48.3	45.8	66.5
G00B_100_100d	50.0	-65.0	29.6	71.4
G25B_100_100d	52.9	-48.6	-8.0	49.3
G50B_100_100d	56.8	-25.5	-41.5	48.7
G75B_100_100d	41.7	-1.2	-40.6	40.6
B00R_100_100d	25.0	29.5	-40.4	50.0
B25R_100_100d	35.6	58.6	-20.7	62.1
B50R_100_100d	46.1	79.3	-0.2	79.3
B75R_100_100d	45.9	74.2	21.1	77.1



Siehe ähnliche Dateien: <http://130.149.60.45/~farbmetrik/QG47/QG47L0NP.PDF> / .PS  
Technische Information: <http://www.ps.bam.de> oder <http://130.149.60.45/~farbmetrik>

TUB-Registrierung: 20130201-QG47/QG47L0NP.PDF / .PS  
Anwendung für Messung von Offsetdruck-Ausgabe, Separation cmy0 (CMY0)  
TUB-Material: Code=rh4ta

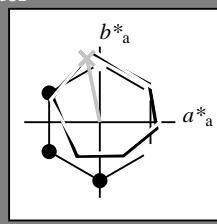


Ein- und Ausgabe: Offset-Reflektiv-System ORS18a für relativen CIELAB-Bunton  $h_{ab,a,rel} = h_{ab}/360 = 101/360 = 0.28$

$H^*_d = Y25G_d$

Daten für jede Geräte- (d) oder Elementarfarbe (e):

$HIC^*_d$   
Buntoncode für die Farben dieser Seite:  
 $H^*_d = Y25G_d$   
Dreiecks-Helligkeit  $T^*$



**ORS20a; adaptierte CIELAB-Daten**

Name	$L^*=L^*_a$	$a^*_a$	$b^*_a$	$C^*_{ab,a}$	$h^*_{ab,a}$
R <sub>d, Ma</sub>	45.4	70.9	44.8	83.9	32
Y <sub>d, Ma</sub>	87.8	-10.2	95.4	96.0	96
G <sub>d, Ma</sub>	50.0	-65.0	29.6	71.4	155
C <sub>d, Ma</sub>	56.8	-25.5	-41.5	48.7	238
B <sub>d, Ma</sub>	25.0	29.5	-40.4	50.0	306
M <sub>d, Ma</sub>	46.1	79.3	-0.2	79.3	359
N <sub>d, Ma</sub>	24.3	0.0	0.0	0.0	0
W <sub>d, Ma</sub>	95.6	0.0	0.0	0.0	0
R <sub>d, CIE</sub>	39.9	58.7	27.9	65.0	25
Y <sub>d, CIE</sub>	81.2	-2.8	71.5	71.6	92
G <sub>d, CIE</sub>	52.2	-42.4	13.6	44.5	162
B <sub>d, CIE</sub>	30.5	1.4	-46.4	46.4	271

Daten für Maximalfarbe (Ma):

$LabCh^*_d, Ma$ : 81 -17 84 86 101

$HIC^*_d, Ma$ : Y25G\_100\_100d

$rgbic^*_d, Ma$ :

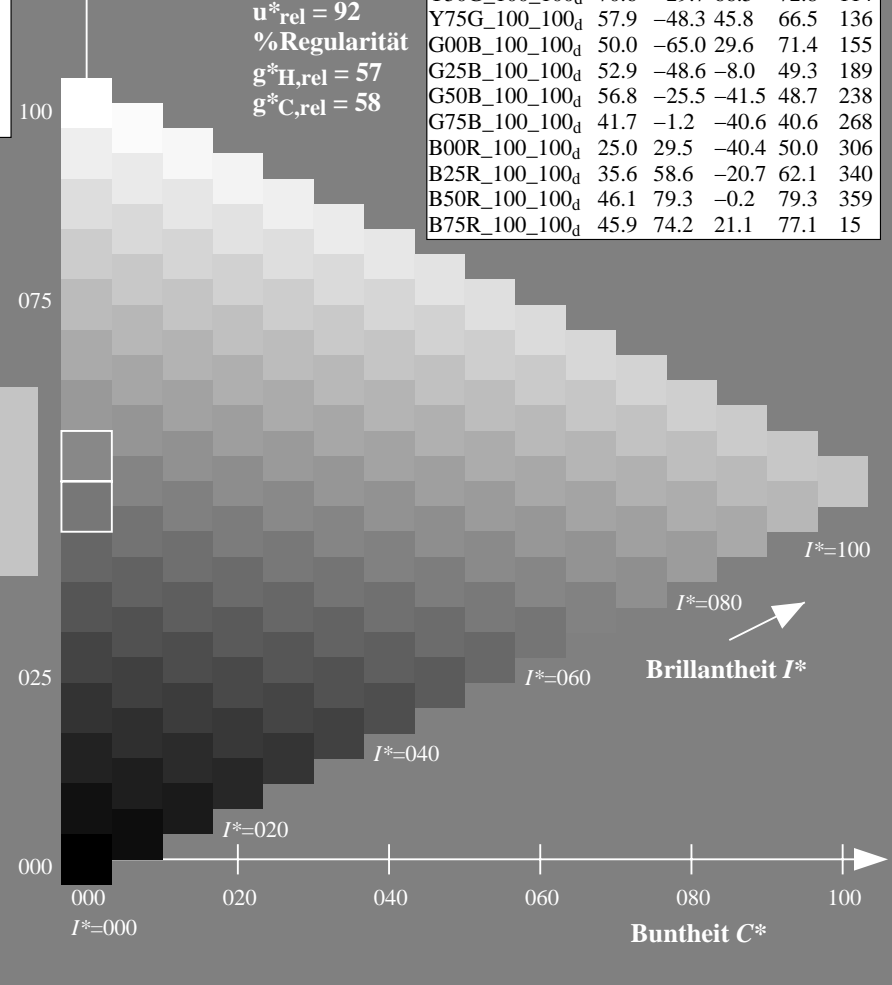
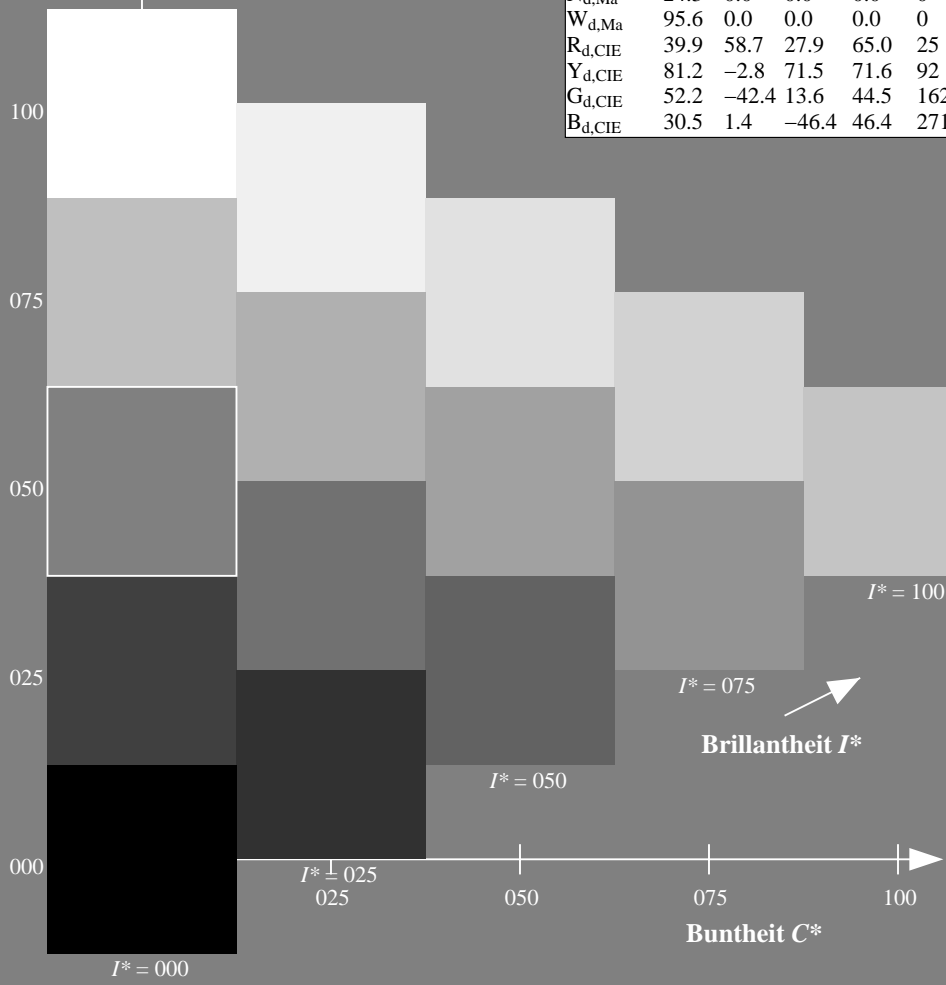
0.76 1.0 0.0 1.0 1.0

Dreiecks-Helligkeit  $T^*$

%Umfang  
 $u^*_{rel} = 92$   
%Regularität  
 $g^*_{H,rel} = 57$   
 $g^*_{C,rel} = 58$

**ORS20a; adaptierte CIELAB-Daten**

$H^*_d$	$L^*=L^*_a$	$a^*_a$	$b^*_a$	$C^*_{ab,a}$	$h^*_{ab,a}$
R00Y_100_100d	45.4	70.9	44.8	83.9	32
R25Y_100_100d	53.0	53.4	54.8	76.5	45
R50Y_100_100d	64.9	28.9	68.6	74.5	67
R75Y_100_100d	78.6	4.3	84.7	84.8	87
Y00G_100_100d	87.8	-10.2	95.4	96.0	96
Y25G_100_100d	81.2	-17.0	84.3	86.0	101
Y50G_100_100d	70.6	-29.7	66.5	72.8	114
Y75G_100_100d	57.9	-48.3	45.8	66.5	136
G00B_100_100d	50.0	-65.0	29.6	71.4	155
G25B_100_100d	52.9	-48.6	-8.0	49.3	189
G50B_100_100d	56.8	-25.5	-41.5	48.7	238
G75B_100_100d	41.7	-1.2	-40.6	40.6	268
B00R_100_100d	25.0	29.5	-40.4	50.0	306
B25R_100_100d	35.6	58.6	-20.7	62.1	340
B50R_100_100d	46.1	79.3	-0.2	79.3	359
B75R_100_100d	45.9	74.2	21.1	77.1	15



Siehe ähnliche Dateien: <http://130.149.60.45/~farbmetrik/QG47/QG47L0NP.PDF> / .PS  
Technische Information: <http://www.ps.bam.de> oder <http://130.149.60.45/~farbmetrik>

TUB-Registrierung: 20130201-QG47/QG47L0NP.PDF / .PS  
Anwendung für Messung von Offsetdruck-Ausgabe, Separation cmy0 (CMY0)  
TUB-Material: Code=rh4ta

0-003231-L0 QG470-70

TUB-Prüfvorlage QG47; Buntoncode:  $H^*_d=Y25G_d$   
Prüfvorlage nach DIN 33872, 3D=0, de=0, cmy0

Eingabe:  $rgb/cmyk \rightarrow rgb_d$   
Ausgabe: Transfer nach  $cmy0_d$

0-003231-F0

Ein- und Ausgabe: Offset-Reflektiv-System ORS18a für relativen CIELAB-Bunton  $h_{ab,a,rel} = h_{ab}/360 = 101/360 = 0.28$

$H^*_d = Y25G_d$

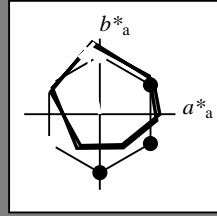
Daten für jede Geräte- (d) oder Elementarfarbe (e):

$HIC^*_d$

Buntoncode für die Farben dieser Seite:

$H^*_d = Y25G_d$

Dreiecks-Helligkeit  $T^*$



ORS20a; adaptierte CIELAB-Daten

Name	$L^*=L^*_a$	$a^*_a$	$b^*_a$	$C^*_{ab,a}$	$h^*_{ab,a}$
R <sub>d, Ma</sub>	45.4	70.9	44.8	83.9	32
Y <sub>d, Ma</sub>	87.8	-10.2	95.4	96.0	96
G <sub>d, Ma</sub>	50.0	-65.0	29.6	71.4	155
C <sub>d, Ma</sub>	56.8	-25.5	-41.5	48.7	238
B <sub>d, Ma</sub>	25.0	29.5	-40.4	50.0	306
M <sub>d, Ma</sub>	46.1	79.3	-0.2	79.3	359
N <sub>d, Ma</sub>	24.3	0.0	0.0	0.0	0
W <sub>d, Ma</sub>	95.6	0.0	0.0	0.0	0
R <sub>d, CIE</sub>	39.9	58.7	27.9	65.0	25
Y <sub>d, CIE</sub>	81.2	-2.8	71.5	71.6	92
G <sub>d, CIE</sub>	52.2	-42.4	13.6	44.5	162
B <sub>d, CIE</sub>	30.5	1.4	-46.4	46.4	271

Daten für Maximalfarbe (Ma):

$LabCh^*_d, Ma$ : 81 -17 84 86 101

$HIC^*_d, Ma$ : Y25G\_100\_100d

$rgbic^*_d, Ma$ :

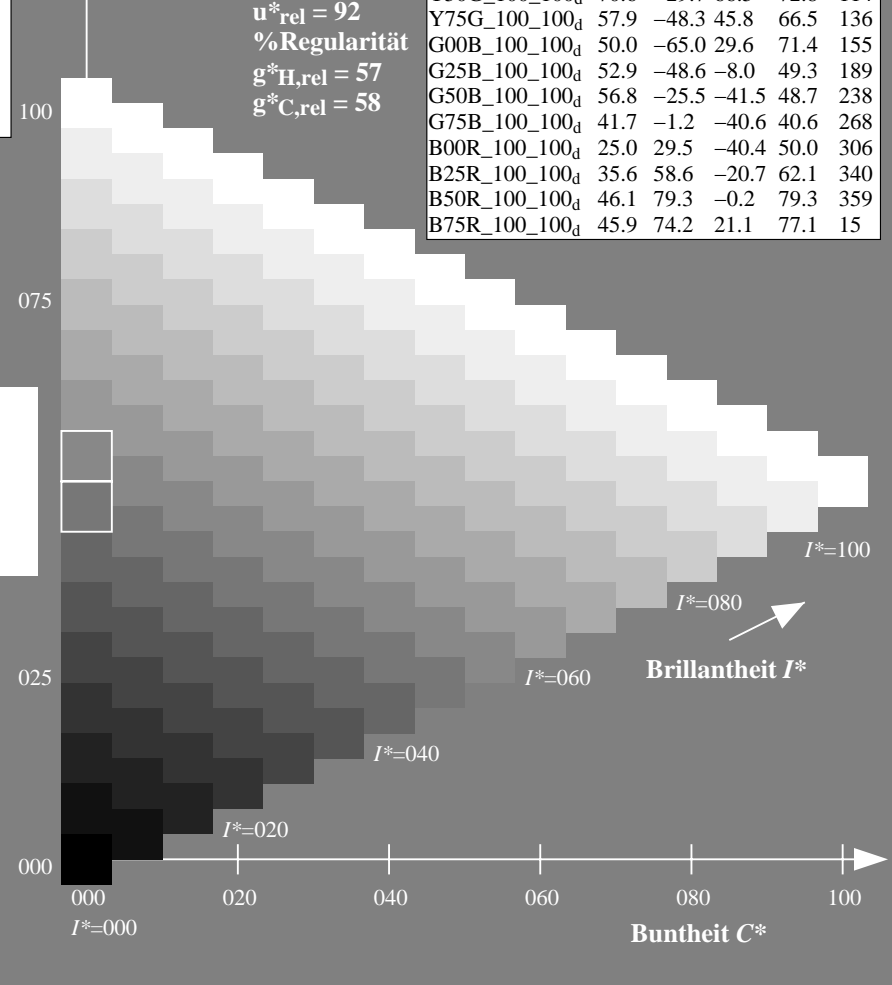
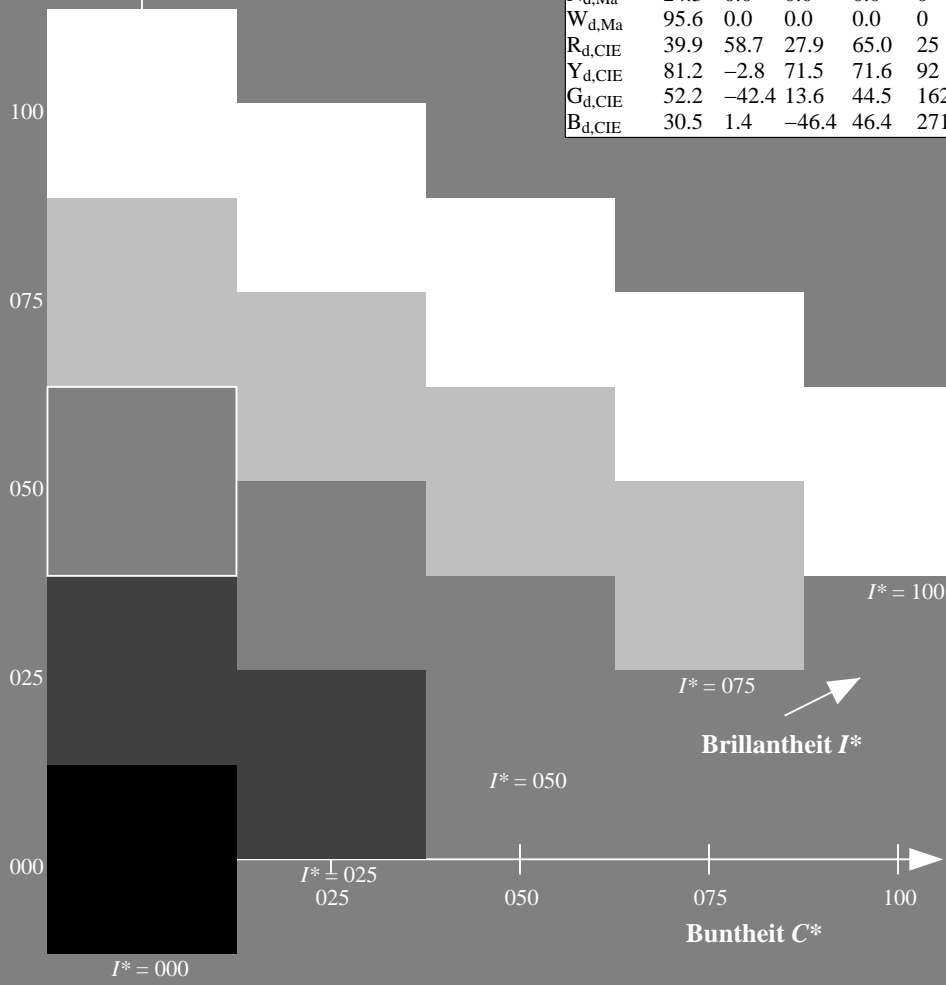
0.76 1.0 0.0 1.0 1.0

Dreiecks-Helligkeit  $T^*$

%Umfang  
 $u^*_{rel} = 92$   
%Regularität  
 $g^*_H, rel = 57$   
 $g^*_C, rel = 58$

ORS20a; adaptierte CIELAB-Daten

$H^*_d$	$L^*=L^*_a$	$a^*_a$	$b^*_a$	$C^*_{ab,a}$	$h^*_{ab,a}$
R00Y_100_100d	45.4	70.9	44.8	83.9	32
R25Y_100_100d	53.0	53.4	54.8	76.5	45
R50Y_100_100d	64.9	28.9	68.6	74.5	67
R75Y_100_100d	78.6	4.3	84.7	84.8	87
Y00G_100_100d	87.8	-10.2	95.4	96.0	96
Y25G_100_100d	81.2	-17.0	84.3	86.0	101
Y50G_100_100d	70.6	-29.7	66.5	72.8	114
Y75G_100_100d	57.9	-48.3	45.8	66.5	136
G00B_100_100d	50.0	-65.0	29.6	71.4	155
G25B_100_100d	52.9	-48.6	-8.0	49.3	189
G50B_100_100d	56.8	-25.5	-41.5	48.7	238
G75B_100_100d	41.7	-1.2	-40.6	40.6	268
B00R_100_100d	25.0	29.5	-40.4	50.0	306
B25R_100_100d	35.6	58.6	-20.7	62.1	340
B50R_100_100d	46.1	79.3	-0.2	79.3	359
B75R_100_100d	45.9	74.2	21.1	77.1	15



Siehe ähnliche Dateien: <http://130.149.60.45/~farbmetrik/QG47/QG47L0NP.PDF> / .PS  
Technische Information: <http://www.ps.bam.de> oder <http://130.149.60.45/~farbmetrik>

TUB-Registrierung: 20130201-QG47/QG47L0NP.PDF / .PS  
Anwendung für Messung von Offsetdruck-Ausgabe, Separation cmy0 (CMY0)  
TUB-Material: Code=rh4ta

0-003331-L0 QG470-70

TUB-Prüfvorlage QG47; Buntoncode:  $H^*_d = Y25G_d$   
Prüfvorlage nach DIN 33872, 3D=0, de=0, cmy0

Eingabe:  $rgb/cmyk \rightarrow rgb_d$   
Ausgabe: Transfer nach  $cmy0_d$

0-003331-F0

Ein- und Ausgabe: Offset-Reflektiv-System ORS18a für relativen CIELAB-Bunton  $h_{ab,a,rel} = h_{ab}/360 = 101/360 = 0.28$

$H^*_d = Y25G_d$

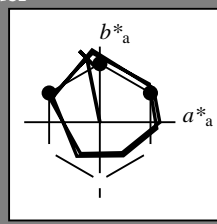
Daten für jede Geräte- (d) oder Elementarfarbe (e):

$HIC^*_d$

Buntoncode für die Farben dieser Seite:

$H^*_d = Y25G_d$

Dreiecks-Helligkeit  $T^*$



**ORS20a; adaptierte CIELAB-Daten**

Name	$L^*=L^*_a a^*_a$	$b^*_a$	$C^*_{ab,a}$	$h^*_{ab,a}$
R <sub>d, Ma</sub>	45.4	70.9	44.8	83.9
Y <sub>d, Ma</sub>	87.8	-10.2	95.4	96.0
G <sub>d, Ma</sub>	50.0	-65.0	29.6	71.4
C <sub>d, Ma</sub>	56.8	-25.5	-41.5	48.7
B <sub>d, Ma</sub>	25.0	29.5	-40.4	50.0
M <sub>d, Ma</sub>	46.1	79.3	-0.2	79.3
N <sub>d, Ma</sub>	24.3	0.0	0.0	0.0
W <sub>d, Ma</sub>	95.6	0.0	0.0	0.0
R <sub>d, CIE</sub>	39.9	58.7	27.9	65.0
Y <sub>d, CIE</sub>	81.2	-2.8	71.5	71.6
G <sub>d, CIE</sub>	52.2	-42.4	13.6	44.5
B <sub>d, CIE</sub>	30.5	1.4	-46.4	46.4

Daten für Maximalfarbe (Ma):

$LabCh^*_{d, Ma}$ : 81 -17 84 86 101

$HIC^*_{d, Ma}$ : Y25G\_100\_100d

$rgbic^*_{d, Ma}$ :

0.76 1.0 0.0 1.0 1.0

Dreiecks-Helligkeit  $T^*$

%Umfang

$u^*_{rel} = 92$

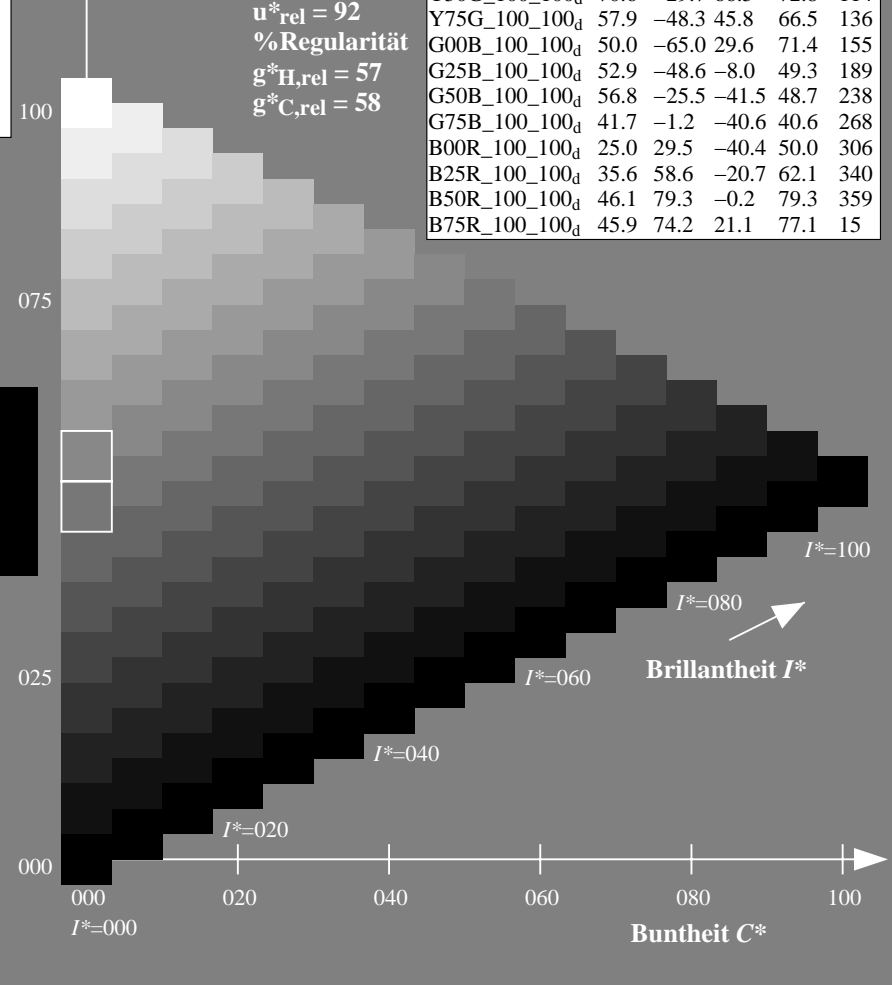
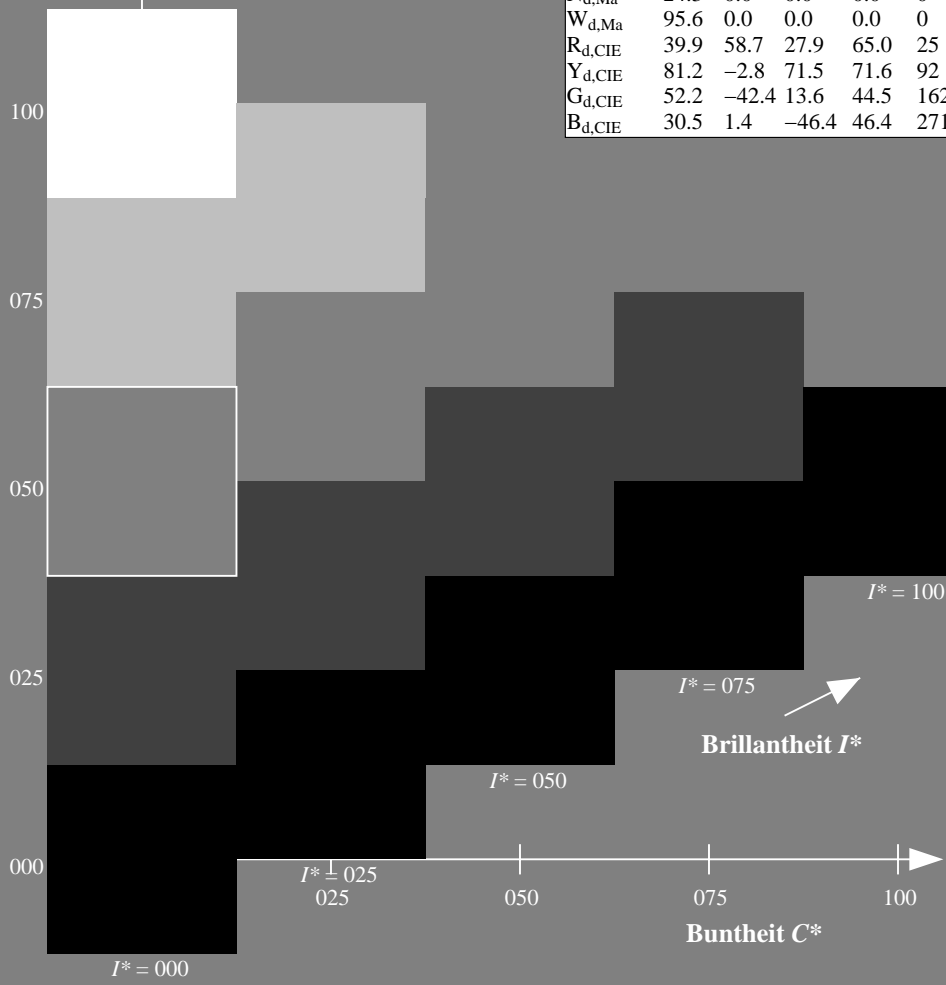
%Regularität

$g^*_{H, rel} = 57$

$g^*_{C, rel} = 58$

**ORS20a; adaptierte CIELAB-Daten**

$H^*_d$	$L^*=L^*_a a^*_a$	$b^*_a$	$C^*_{ab,a}$	$h^*_{ab,a}$
R00Y_100_100d	45.4	70.9	44.8	83.9
R25Y_100_100d	53.0	53.4	54.8	76.5
R50Y_100_100d	64.9	28.9	68.6	74.5
R75Y_100_100d	78.6	4.3	84.7	84.8
Y00G_100_100d	87.8	-10.2	95.4	96.0
Y25G_100_100d	81.2	-17.0	84.3	86.0
Y50G_100_100d	70.6	-29.7	66.5	72.8
Y75G_100_100d	57.9	-48.3	45.8	66.5
G00B_100_100d	50.0	-65.0	29.6	71.4
G25B_100_100d	52.9	-48.6	-8.0	49.3
G50B_100_100d	56.8	-25.5	-41.5	48.7
G75B_100_100d	41.7	-1.2	-40.6	40.6
B00R_100_100d	25.0	29.5	-40.4	50.0
B25R_100_100d	35.6	58.6	-20.7	62.1
B50R_100_100d	46.1	79.3	-0.2	79.3
B75R_100_100d	45.9	74.2	21.1	77.1



Siehe ähnliche Dateien: <http://130.149.60.45/~farbmetrik/QG47/QG47L0NP.PDF> / .PS  
Technische Information: <http://www.ps.bam.de> oder <http://130.149.60.45/~farbmetrik>

TUB-Registrierung: 20130201-QG47/QG47L0NP.PDF / .PS  
Anwendung für Messung von Offsetdruck-Ausgabe, Separation cmy0 (CMY0)  
TUB-Material: Code=rh4ta

0-003431-L0 QG470-70

TUB-Prüfvorlage QG47; Buntoncode:  $H^*_d=Y25G_d$   
Prüfvorlage nach DIN 33872, 3D=0, de=0, cmy0

Eingabe:  $rgb/cmyk \rightarrow rgb_d$   
Ausgabe: Transfer nach  $cmy0_d$

0-003431-F0



0-003531-L0 QG470-70

TUB-Prüfvorlage QG47; Bunttoncode: H\*d=Y25Gd  
Prüfvorlage nach DIN 33872, 3D=0, de=0, cmy0

Eingabe: *rgb/cmyk* -> *rgb<sub>d</sub>*  
Ausgabe: Transfer nach *cmy0<sub>d</sub>*



0-003531-F0

Daten der Maximalfarbe M im Farbmetrik-System Offset-Normdruck; Separation cmy0\*, D65 für Ein- oder Ausgabe; Sechs Bunttonwinkel der 60-Grad Standardfarben RYGBM<sub>s</sub>:  $h_{ab,ds} = 30.0, 90.0, 150.0, 210.0, 270.0, 330.0$ ;  
 Sechs Bunttonwinkel der Gerätefarben RYGBM<sub>d</sub>:  $h_{ab,d} = 32.3, 96.1, 155.5, 238.4, 306.2, 359.8$ ; Sechs Bunttonwinkel der Elementarfarben RYGBM<sub>e</sub>:  $h_{ab,e} = 25.5, 92.3, 162.2, 217.0, 271.7, 328.6$

**J=Y<sub>d</sub> YellowGelb**  
 $LCH^*_d = 87.8 \ 96.0 \ 96.1$   
 $LAB^*_d = 87.8 \ -10.2 \ 95.4$   
 $rgb^*_d = 1.0 \ 1.0 \ 0.0$

**L=G<sub>d</sub> leaf-greenLaubgrün**  
 $LCH^*_d = 50.0 \ 71.4 \ 155.5$   
 $LAB^*_d = 50.0 \ -65.0 \ 29.6$   
 $rgb^*_d = 0.0 \ 1.0 \ 0.0$

**C=C<sub>d</sub> cyan-blueCyanblau**  
 $LCH^*_d = 56.8 \ 48.7 \ 238.4$   
 $LAB^*_d = 56.8 \ -25.5 \ -41.5$   
 $rgb^*_d = 0.0 \ 1.0 \ 1.0$

**O=R<sub>d</sub> orange-redOrangerot**  
 $LCH^*_d = 45.4 \ 83.9 \ 32.3$   
 $LAB^*_d = 45.4 \ 70.9 \ 44.8$   
 $rgb^*_d = 1.0 \ 0.0 \ 0.0$

**M=M<sub>d</sub> magenta-redMagentarot**  
 $LCH^*_d = 46.1 \ 79.3 \ 359.8$   
 $LAB^*_d = 46.1 \ 79.3 \ -0.2$   
 $rgb^*_d = 1.0 \ 0.0 \ 1.0$

**V=B<sub>d</sub> violet-blueViolettblau**  
 $LCH^*_d = 25.0 \ 50.0 \ 306.2$   
 $LAB^*_d = 25.0 \ 29.5 \ -40.4$   
 $rgb^*_d = 0.0 \ 0.0 \ 1.0$

**Y<sub>e</sub> yellowGelb**  
 $LCH^*_e = 83.6 \ 90.4 \ 92.3$   
 $LAB^*_e = 83.6 \ -3.6 \ 90.4$   
 $rgb^*_{de} = 1.0 \ 0.878 \ 0.0$

**G<sub>e</sub> greenGrün**  
 $LCH^*_e = 50.6 \ 65.2 \ 162.2$   
 $LAB^*_e = 50.6 \ -62.1 \ 19.9$   
 $rgb^*_{de} = 0.0 \ 1.0 \ 0.151$

**C<sub>e</sub> blue-greenBlaugrün**  
 $LCH^*_e = 55.0 \ 45.3 \ 216.9$   
 $LAB^*_e = 55.0 \ -36.2 \ -27.2$   
 $rgb^*_{de} = 0.0 \ 1.0 \ 0.747$

**B<sub>e</sub> blueBlau**  
 $LCH^*_e = 40.2 \ 40.6 \ 271.7$   
 $LAB^*_e = 40.2 \ 1.2 \ -40.6$   
 $rgb^*_{de} = 0.0 \ 0.458 \ 1.0$

**R<sub>e</sub> redRot**  
 $LCH^*_e = 45.6 \ 80.0 \ 25.4$   
 $LAB^*_e = 45.6 \ 72.2 \ 34.4$   
 $rgb^*_{de} = 1.0 \ 0.0 \ 0.254$

**M<sub>e</sub> blue-redBlaurot**  
 $LCH^*_e = 31.1 \ 55.9 \ 328.6$   
 $LAB^*_e = 31.1 \ 47.7 \ -29.1$   
 $rgb^*_{de} = 0.321 \ 0.0 \ 1.0$

**standard Standard-CIELAB (a\*<sub>s</sub>, b\*<sub>s</sub>) chroma diagram-Diagramm**

**Y<sub>s</sub> yellowGelb**  
 $LCH^*_s = 81.4 \ 87.9 \ 90.0$   
 $LAB^*_s = 81.4 \ 0.0 \ 87.9$   
 $rgb^*_{ds} = 1.0 \ 0.828 \ 0.0$

**G<sub>s</sub> greenGrün**  
 $LCH^*_s = 52.3 \ 68.9 \ 150.0$   
 $LAB^*_s = 52.3 \ -59.6 \ 34.4$   
 $rgb^*_{ds} = 0.062 \ 1.0 \ 0.0$

**C<sub>s</sub> blue-greenBlaugrün**  
 $LCH^*_s = 54.5 \ 45.7 \ 210.0$   
 $LAB^*_s = 54.5 \ -39.6 \ -22.8$   
 $rgb^*_{ds} = 0.0 \ 1.0 \ 0.685$

**R<sub>s</sub> redRot**  
 $LCH^*_s = 45.5 \ 82.4 \ 30.0$   
 $LAB^*_s = 45.5 \ 71.3 \ 41.2$   
 $rgb^*_{ds} = 1.0 \ 0.0 \ 0.096$

**M<sub>s</sub> blue-redBlaurot**  
 $LCH^*_s = 31.6 \ 56.5 \ 330.0$   
 $LAB^*_s = 31.6 \ 49.0 \ -28.2$   
 $rgb^*_{ds} = 0.337 \ 0.0 \ 1.0$

**B<sub>s</sub> blueBlau**  
 $LCH^*_s = 40.9 \ 40.6 \ 270.0$   
 $LAB^*_s = 40.9 \ 0.0 \ -40.6$   
 $rgb^*_{ds} = 0.0 \ 0.479 \ 1.0$

**Notes to the CIELAB chroma diagrams / Anmerkung zu den CIELAB-Buntheits-Diagrammen (a\*<sub>d</sub>, b\*<sub>d</sub>), (a\*<sub>s</sub>, b\*<sub>s</sub>), (a\*<sub>e</sub>, b\*<sub>e</sub>)**

- For the 1. Für die  $rgb^*_e$ -input values the CIELAB data-Eingabedaten wurden die CIELAB-Daten  $LCH^*_e$  und  $LAB^*_e$  have been calculated.
- For the calculation of the standard hue angle  $h_{ab,s}$  use for any device values  $rgb^*_e$  the equation:  

$$h_{ab,s} = \text{atan} [ r^*_d \cos(30) + g^*_d \cos(150) ] / [ r^*_d \sin(30) + g^*_d \sin(150) + b^*_d \sin(270) ] \quad (1)$$
- For the 48 or 360 equally spaced standard hue angles 3. Für die 48 oder 360 gleichabständig gestuften Standard-Buntonwinkel  $h_{ab,s}$  of the color the seven hue angles of the 60 degree colours die sieben Bunttonwinkel der 60Grad-Farben  $s$ :  $h_{ab,s} = 30.0, 90.0, 150.0, 210.0, 270.0, 330.0, 390.0$  and the equations for a 48 and 360 step hue circle: und die Gleichungen für einen 48- und 360-stufigen Buntonkreis:  

$$h_{48ab,sij} = h_{ab,si} + j [ h_{ab,si+1} - h_{ab,si} ] / 8 \quad (i = 0, 1, \dots, 5; j = 0, 1, \dots, 7) \quad (2)$$

$$h_{360ab,sij} = h_{ab,si} + j [ h_{ab,si+1} - h_{ab,si} ] / 60 \quad (i = 0, 1, \dots, 5; j = 0, 1, \dots, 59) \quad (3)$$
- For the 48 or 360 elementary hue angles 4. Für die 48 oder 360 Elementar-Buntonwinkel  $h_{ab,e}$  of the colours of maximum chroma der Far the seven hue angles of the elementary colours die sieben Bunttonwinkel der Elementarfarben  $e$ :  $h_{ab,e} = 25.5, 92.3, 162.2, 217.0, 271.7, 328.6$  and the equations for a 48 and 360 step elementary hue circle: und die Gleichungen für einen 48- und 360-stufigen Elementar-Buntonkreis:  

$$h_{48ab,eij} = h_{ab,ei} + j [ h_{ab,ei+1} - h_{ab,ei} ] / 8 \quad (i = 0, 1, \dots, 5; j = 0, 1, \dots, 7) \quad (4)$$

$$h_{360ab,eij} = h_{ab,ei} + j [ h_{ab,ei+1} - h_{ab,ei} ] / 60 \quad (i = 0, 1, \dots, 5; j = 0, 1, \dots, 59) \quad (5)$$
- For any elementary hue angle 5. Für jeden Elementar-Buntonwinkel  $h_{ab,e}$  there is a well defined device hue angle gibt es einen genau defini see the following tables, columns 1 to 5 or 1 to 4. siehe die folgenden Tabellen, Spalten 1 bis 5 oder 1 bis 4.
- The values 6. Die Werte  $rgb^*_e$  produce the output of the device-independent elementary hues erzeugen die Ausgabe der geräteunabhängigen

Technische Information: <http://www.ps.bam.de> oder <http://130.149.60.45/~farbmetrik>  
 Siehe ähnliche Dateien: <http://130.149.60.45/~farbmetrik/QG47/QG47L0NP.PDF> / .PS  
 Anwendung für Messung von Offsetdruck-Ausgabe, Separation cmy0 (CMY0)

TUB-Registrierung: 20130201-QG47/QG47L0NP.PDF / .PS  
 TUB-Material: Oederhakta

Daten der Maximalfarbe M im Farbmetrik-System Offset-Normdruck; Separation cmy0\*, D65 für Ein- oder Ausgabe; Sechs Bunttonwinkel der 60-Grad Standardfarben RYGBM<sub>c</sub>: h<sub>ab,ds</sub> = 30.0, 90.0, 150.0, 210.0, 270.0, 330.0; Sechs Bunttonwinkel der Gerätefarben RYGBM<sub>d</sub>: h<sub>ab,d</sub> = 32.3, 96.1, 155.5, 238.4, 306.2, 359.8; Sechs Bunttonwinkel der Elementarfarben RYGBM<sub>e</sub>: h<sub>ab,e</sub> = 25.5, 92.3, 162.2, 217.0, 271.7, 328.6

Table with 15 columns: h<sub>ab,d</sub>, h<sub>ab,s</sub>, h<sub>ab,e</sub>, r<sub>gb</sub>\*dd64M, LAB\*ddx64M (x=LabCh), r<sub>gb</sub>\*ddx361M, LAB\*ddx361M (x=LabCh), r<sub>gb</sub>\*dsx361M, LAB\*dsx361M (x=LabCh), r<sub>gb</sub>\*dex361M, LAB\*dex361M (x=LabCh). Rows contain numerical data for various color patches.



Siehe ähnliche Dateien: http://130.149.60.45/~farbmetrik/QG47/QG47LONP.PDF /.PS  
Technische Information: http://www.ps.bam.de oder http://130.149.60.45/~farbmetrik

TUB-Registrierung: 20130201-QG47/QG47LONP.PDF /.PS  
Anwendung für Messung von Offsetdruck-Ausgabe, Separation cmy0 (CMY0)  
TUB-Material: Code=rh4ta





Daten der Maximalfarbe M im Farbmetrik-System Offset-Normdruck; Separation cmy0\*, D65 für Ein- oder Ausgabe; Sechs Bunttonwinkel der 60-Grad Standardfarben RYGBM<sub>c</sub>: h<sub>ab,ds</sub> = 30.0, 90.0, 150.0, 210.0, 270.0, 330.0; Sechs Bunttonwinkel der Gerätefarben RYGBM<sub>d</sub>: h<sub>ab,d</sub> = 32.3, 96.1, 155.5, 238.4, 306.2, 359.8; Sechs Bunttonwinkel der Elementarfarben RYGBM<sub>e</sub>: h<sub>ab,e</sub> = 25.5, 92.3, 162.2, 217.0, 271.7, 328.6

Table with columns for h<sub>ab,d</sub>, h<sub>ab,s</sub>, h<sub>ab,e</sub>, rg<sup>b</sup>\*, dd361M, LAB\*, ddx361Mi (x=LabCh), R<sub>d</sub>, rg<sup>b</sup>\*, ds361Mi, LAB\*, dsx361Mi (x=LabCh), R<sub>s</sub>, rg<sup>b</sup>\*, dd361Mi, rg<sup>b</sup>\*, de361Mi, LAB\*, dex361Mi (x=LabCh), R<sub>c</sub>, rg<sup>b</sup>\*, dd361Mi, rg<sup>b</sup>\*, ds361Mi, rg<sup>b</sup>\*, de361Mi. It contains 86 rows of color data.

Siehe ähnliche Dateien: http://130.149.60.45/~farbmetrik/QG47/QG47LONP.PDF /.PS Technische Information: http://www.ps.bam.de oder http://130.149.60.45/~farbmetrik

TUB-Registrierung: 20130201-QG47/QG47LONP.PDF /.PS Anwendung für Messung von Offsetdruck-Ausgabe, Separation cmy0 (CMY0)

TUB-Material: Code=rh4ta









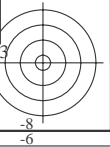
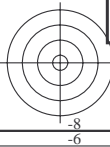
Daten der Maximalfarbe M im Farbmetrik-System Offset-Normdruck; Separation cmy0\*, D65 für Ein- oder Ausgabe; Sechs Bunttonwinkel der 60-Grad Standardfarben RYGBM<sub>c</sub>: h<sub>ab,ds</sub> = 30.0, 90.0, 150.0, 210.0, 270.0, 330.0; Sechs Bunttonwinkel der Gerätefarben RYGBM<sub>d</sub>: h<sub>ab,d</sub> = 32.3, 96.1, 155.5, 238.4, 306.2, 359.8; Sechs Bunttonwinkel der Elementarfarben RYGBM<sub>e</sub>: h<sub>ab,e</sub> = 25.5, 92.3, 162.2, 217.0, 271.7, 328.6

Table with columns: h<sub>ab,d</sub>, h<sub>ab,s</sub>, h<sub>ab,e</sub>, r<sub>gb</sub>\*, d<sub>361M</sub>, LAB\*, d<sub>dx361Mi</sub> (x=LabCh), r<sub>gb</sub>\*, d<sub>s361Mi</sub>, LAB\*, d<sub>dsx361Mi</sub> (x=LabCh), r<sub>gb</sub>\*, d<sub>361Mi</sub>, r<sub>gb</sub>\*, d<sub>361Mi</sub>, LAB\*, d<sub>de361Mi</sub>, LAB\*, d<sub>dex361Mi</sub> (x=LabCh), r<sub>gb</sub>\*, d<sub>361Mi</sub>, r<sub>gb</sub>\*, d<sub>361Mi</sub>, r<sub>gb</sub>%, d<sub>361Mi</sub>, r<sub>gb</sub>%, d<sub>361Mi</sub>, r<sub>gb</sub>%, d<sub>361Mi</sub>. Rows 289-340.



Siehe ähnliche Dateien: http://130.149.60.45/~farbmetrik/QG47/QG47LONP.PDF /.PS Technische Information: http://www.ps.bam.de oder http://130.149.60.45/~farbmetrik

TUB-Registrierung: 20130201-QG47/QG47LONP.PDF /.PS TUB-Material: Code=rh4ta Anwendung für Messung von Offsetdruck-Ausgabe, Separation cmy0 (CMY0)









QG4700L

0-0031731-F0

http://130.149.60.45/~farbmetrik/QG47/QG47L0NP.PDF /.PS; Transfer Ausgabe  
 N: Keine 3D-Linearisierung (OL) in Datei (F) oder PS-Startup (S), Seite 18/33

nrf	HC*Fd	rgb_Fd	icr_Fd	hsa_Fd	rgb*Fd	LabCH*Fd	LabCH**Fd	DF*Fd	HaM*Fd	rgb**Fd	LabCH**Fd
0/648	R00Y_100_100a	1.0	0.0	0.0	0.0	0.0	0.0	0.0	0.0	0.0	0.0
1/657	R13Y_100_100a	0.0	0.0	0.0	0.0	0.0	0.0	0.0	0.0	0.0	0.0
2/666	R25Y_100_100a	0.0	0.0	0.0	0.0	0.0	0.0	0.0	0.0	0.0	0.0
3/675	R38Y_100_100a	0.0	0.0	0.0	0.0	0.0	0.0	0.0	0.0	0.0	0.0
4/684	R50Y_100_100a	0.0	0.0	0.0	0.0	0.0	0.0	0.0	0.0	0.0	0.0
5/693	R63Y_100_100a	0.0	0.0	0.0	0.0	0.0	0.0	0.0	0.0	0.0	0.0
6/702	R75Y_100_100a	0.0	0.0	0.0	0.0	0.0	0.0	0.0	0.0	0.0	0.0
7/711	R88Y_100_100a	0.0	0.0	0.0	0.0	0.0	0.0	0.0	0.0	0.0	0.0
8/720	Y00G_100_100a	0.0	0.0	0.0	0.0	0.0	0.0	0.0	0.0	0.0	0.0
9/639	Y13C_100_100a	0.0	0.0	0.0	0.0	0.0	0.0	0.0	0.0	0.0	0.0
10/558	Y25C_100_100a	0.0	0.0	0.0	0.0	0.0	0.0	0.0	0.0	0.0	0.0
11/477	Y38C_100_100a	0.0	0.0	0.0	0.0	0.0	0.0	0.0	0.0	0.0	0.0
12/396	Y50G_100_100a	0.0	0.0	0.0	0.0	0.0	0.0	0.0	0.0	0.0	0.0
13/315	Y63G_100_100a	0.0	0.0	0.0	0.0	0.0	0.0	0.0	0.0	0.0	0.0
14/234	Y75G_100_100a	0.0	0.0	0.0	0.0	0.0	0.0	0.0	0.0	0.0	0.0
15/153	Y88C_100_100a	0.0	0.0	0.0	0.0	0.0	0.0	0.0	0.0	0.0	0.0
16/72	G00C_100_100a	0.0	0.0	0.0	0.0	0.0	0.0	0.0	0.0	0.0	0.0
17/73	G13C_100_100a	0.0	0.0	0.0	0.0	0.0	0.0	0.0	0.0	0.0	0.0
18/74	G25C_100_100a	0.0	0.0	0.0	0.0	0.0	0.0	0.0	0.0	0.0	0.0
19/75	G38C_100_100a	0.0	0.0	0.0	0.0	0.0	0.0	0.0	0.0	0.0	0.0
20/76	G50C_100_100a	0.0	0.0	0.0	0.0	0.0	0.0	0.0	0.0	0.0	0.0
21/77	G63C_100_100a	0.0	0.0	0.0	0.0	0.0	0.0	0.0	0.0	0.0	0.0
22/78	G75C_100_100a	0.0	0.0	0.0	0.0	0.0	0.0	0.0	0.0	0.0	0.0
23/79	G88C_100_100a	0.0	0.0	0.0	0.0	0.0	0.0	0.0	0.0	0.0	0.0
24/80	C00B_100_100a	0.0	0.0	0.0	0.0	0.0	0.0	0.0	0.0	0.0	0.0
25/81	C13B_100_100a	0.0	0.0	0.0	0.0	0.0	0.0	0.0	0.0	0.0	0.0
26/62	C25B_100_100a	0.0	0.0	0.0	0.0	0.0	0.0	0.0	0.0	0.0	0.0
27/63	C38B_100_100a	0.0	0.0	0.0	0.0	0.0	0.0	0.0	0.0	0.0	0.0
28/44	C50B_100_100a	0.0	0.0	0.0	0.0	0.0	0.0	0.0	0.0	0.0	0.0
29/35	C63B_100_100a	0.0	0.0	0.0	0.0	0.0	0.0	0.0	0.0	0.0	0.0
30/26	C75B_100_100a	0.0	0.0	0.0	0.0	0.0	0.0	0.0	0.0	0.0	0.0
31/17	C88B_100_100a	0.0	0.0	0.0	0.0	0.0	0.0	0.0	0.0	0.0	0.0
32/8	B00M_100_100a	0.0	0.0	0.0	0.0	0.0	0.0	0.0	0.0	0.0	0.0
33/89	B13M_100_100a	0.0	0.0	0.0	0.0	0.0	0.0	0.0	0.0	0.0	0.0
34/170	B25M_100_100a	0.0	0.0	0.0	0.0	0.0	0.0	0.0	0.0	0.0	0.0
35/251	B38M_100_100a	0.0	0.0	0.0	0.0	0.0	0.0	0.0	0.0	0.0	0.0
36/332	B50M_100_100a	0.0	0.0	0.0	0.0	0.0	0.0	0.0	0.0	0.0	0.0
37/413	B63M_100_100a	0.0	0.0	0.0	0.0	0.0	0.0	0.0	0.0	0.0	0.0
38/494	B75M_100_100a	0.0	0.0	0.0	0.0	0.0	0.0	0.0	0.0	0.0	0.0
39/575	B88M_100_100a	0.0	0.0	0.0	0.0	0.0	0.0	0.0	0.0	0.0	0.0
40/656	M00R_100_100a	0.0	0.0	0.0	0.0	0.0	0.0	0.0	0.0	0.0	0.0
41/655	M13R_100_100a	0.0	0.0	0.0	0.0	0.0	0.0	0.0	0.0	0.0	0.0
42/654	M25R_100_100a	0.0	0.0	0.0	0.0	0.0	0.0	0.0	0.0	0.0	0.0
43/653	M38R_100_100a	0.0	0.0	0.0	0.0	0.0	0.0	0.0	0.0	0.0	0.0
44/652	M50R_100_100a	0.0	0.0	0.0	0.0	0.0	0.0	0.0	0.0	0.0	0.0
45/651	M63R_100_100a	0.0	0.0	0.0	0.0	0.0	0.0	0.0	0.0	0.0	0.0
46/650	M75R_100_100a	0.0	0.0	0.0	0.0	0.0	0.0	0.0	0.0	0.0	0.0
47/649	M88R_100_100a	0.0	0.0	0.0	0.0	0.0	0.0	0.0	0.0	0.0	0.0
48/648	R00Y_100_100a	1.0	0.0	0.0	0.0	0.0	0.0	0.0	0.0	0.0	0.0
49/0	NV_000a	0.0	0.0	0.0	0.0	0.0	0.0	0.0	0.0	0.0	0.0
50/91	NV_013a	0.125	0.125	0.125	0.125	0.125	0.125	0.125	0.125	0.125	0.125
51/182	NV_025a	0.25	0.25	0.25	0.25	0.25	0.25	0.25	0.25	0.25	0.25
52/273	NV_038a	0.375	0.375	0.375	0.375	0.375	0.375	0.375	0.375	0.375	0.375
53/364	NV_050a	0.5	0.5	0.5	0.5	0.5	0.5	0.5	0.5	0.5	0.5
54/455	NV_063a	0.625	0.625	0.625	0.625	0.625	0.625	0.625	0.625	0.625	0.625
55/546	NV_075a	0.75	0.75	0.75	0.75	0.75	0.75	0.75	0.75	0.75	0.75
56/637	NV_088a	0.875	0.875	0.875	0.875	0.875	0.875	0.875	0.875	0.875	0.875
57/728	NV_100a	1.0	1.0	1.0	1.0	1.0	1.0	1.0	1.0	1.0	1.0

Eingabe: rgb/cmyk -> rgba  
 Ausgabe: Transfer nach cmy0d

TUB-Prüfvorlage QG47; Bunttoncode: H\*d=Y25Gd  
 Farben und Farbabstände, ΔE\*

QG470-7N, Seite 18/33-F

0-0031731-F0





http://130.149.60.45/~farbmetrik/QG47/QG47LONP.PDF /.PS; Transfer Ausgabe  
N: Keine 3D-Linearisierung (OL) in Datei (F) oder PS-Startup (S), Seite 21/33

Table with 16 columns: n, HHC\*Fd, rpb\*Fd, ier\*Fd, hsa\*Fd, rpb\*Fd, LabC\*Fd, LabC\*Fd, rpb\*Fd, rpb\*Fd, LabC\*Fd, LabC\*Fd, DF\*Fd, Hs\*Fd, LabC\*Fd, LabC\*Fd. The table contains a dense grid of numerical data for various color calibration patches.

TUB-Prüfvorlage QG47; Bunttoncode: H\*d=Y25Gd  
Farben und Farbabstände, ΔE\*

Eingabe: rgb/cmyk -> rgbd  
Ausgabe: Transfer nach cmy0d

http://130.149.60.45/~farbmetrik/QG47/QG47L0NP.PDF / .PS; Transfer Ausgabe  
N: Keine 3D-Linearisierung (OL) in Datei (F) oder PS-Startup (S), Seite 22/33

Table with columns: n, HHC\*Fd, rpb\*Fd, icr\*Fd, hsa\*Fd, rpb\*Fd, LabCh\*Fd, LabCh\*Fd, rpb\*Fd, LabCh\*Fd, DF\*Fd, Ham\*Fd, rpb\*Fd, LabCh\*Fd. Rows 162-242. Includes numerical data for each color and registration mark.

Eingabe: rgb/cmyk -> r g b d  
Ausgabe: Transfer nach cmy0 d  
TUB-Prüfvorlage QG47; Bunttoncode: H\*d=Y25Gd  
Farben und Farbabstände, ΔE\*



QG4700L

QG4700L

Color calibration table with columns for various color bars and numerical values for registration, color balance, and density.

Siehe ähnliche Dateien: <http://130.149.60.45/~farbmetrik/QG47/QG47.HTM>  
Technische Information: <http://www.ps.bam.de> oder <http://130.149.60.45/~farbmetrik>

Eingabe: rgb/cmyk -> rgbd  
Ausgabe: Transfer nach cmy0d

TUB-Prüfvorlage QG47; Bunttoncode: H\*d=Y25Gd  
Farben und Farbabstände, ΔE\*

0-0032331-F0

QG470-TN; Seite 24/33-F

0-0032331-F0











QG4700L

0-0032831-F0

http://130.149.60.45/~farbmetrik/QG47/QG47LONP.PDF /.PS; Transfer Ausgabe  
N: Keine 3D-Linearisierung (OL) in Datei (F) oder PS-Startup (S), Seite 29/33

Table with 15 columns: n, HHC\*Fd, rpb\*Fd, icr\*Fd, hsa\*Fd, rpb\*Fd, LabCH\*Fd, LabCH\*Fd, rpb\*Fd, LabCH\*Fd, DF\*Fd, Hsa\*Fd, rpb\*Fd, LabCH\*Fd, LabCH\*Fd. Rows contain numerical data for various color and registration marks.

delta E\* = 7.8

TUB-Prüfvorlage QG47; Bunttoncode: H\*d=Y25Gd  
Farben und Farbabstände, ΔE\*  
Eingabe: rgb/cmyk -> rrgb  
Ausgabe: Transfer nach cmy0d









n	HC*Fd	rgb*Fd	iet*Fd	hsa*Fd	rgb*Fd	LabCIE*Fd	hsa*Fd	LabCIE*Fd	rgb*Fd	LabCIE*Fd	DF*Fd	hsa*Fd	rgb*Fd	LabCIE*Fd
1053	NW_0866d	0.866	0.866	0.866	0.866	0.866	0.866	0.866	0.866	0.866	3.7	360	1.0	95.6
1054	NW_0933d	0.933	0.933	0.933	0.933	0.933	0.933	0.933	0.933	0.933	69.9	360	1.0	95.6
1055	NW_1000d	1.0	1.0	1.0	1.0	1.0	1.0	1.0	1.0	1.0	71.6	360	1.0	95.6
1056	NW_0066d	0.0	0.0	0.0	0.0	0.0	0.0	0.0	0.0	0.0	1.4	360	1.0	95.6
1057	NW_0066d	0.066	0.066	0.066	0.066	0.066	0.066	0.066	0.066	0.066	0.1	360	1.0	95.6
1058	NW_0133d	0.133	0.133	0.133	0.133	0.133	0.133	0.133	0.133	0.133	0.1	360	1.0	95.6
1059	NW_0200d	0.2	0.2	0.2	0.2	0.2	0.2	0.2	0.2	0.2	0.1	360	1.0	95.6
1060	NW_0266d	0.266	0.266	0.266	0.266	0.266	0.266	0.266	0.266	0.266	0.1	360	1.0	95.6
1061	NW_0333d	0.333	0.333	0.333	0.333	0.333	0.333	0.333	0.333	0.333	0.1	360	1.0	95.6
1062	NW_0400d	0.4	0.4	0.4	0.4	0.4	0.4	0.4	0.4	0.4	0.1	360	1.0	95.6
1063	NW_0466d	0.466	0.466	0.466	0.466	0.466	0.466	0.466	0.466	0.466	0.1	360	1.0	95.6
1064	NW_0533d	0.533	0.533	0.533	0.533	0.533	0.533	0.533	0.533	0.533	0.1	360	1.0	95.6
1065	NW_0600d	0.6	0.6	0.6	0.6	0.6	0.6	0.6	0.6	0.6	0.1	360	1.0	95.6
1066	NW_0666d	0.666	0.666	0.666	0.666	0.666	0.666	0.666	0.666	0.666	0.1	360	1.0	95.6
1067	NW_0734d	0.734	0.734	0.734	0.734	0.734	0.734	0.734	0.734	0.734	0.1	360	1.0	95.6
1068	NW_0800d	0.8	0.8	0.8	0.8	0.8	0.8	0.8	0.8	0.8	0.1	360	1.0	95.6
1069	NW_0866d	0.866	0.866	0.866	0.866	0.866	0.866	0.866	0.866	0.866	0.1	360	1.0	95.6
1070	NW_0933d	0.933	0.933	0.933	0.933	0.933	0.933	0.933	0.933	0.933	0.1	360	1.0	95.6
1071	NW_1000d	1.0	1.0	1.0	1.0	1.0	1.0	1.0	1.0	1.0	0.1	360	1.0	95.6
1072	NW_1000d	0.0	0.0	0.0	0.0	0.0	0.0	0.0	0.0	0.0	0.1	360	1.0	95.6
1073	ROY_100_100d	1.0	1.0	1.0	1.0	1.0	1.0	1.0	1.0	1.0	0.1	360	1.0	95.6
1074	ROY_100_100d	0.0	0.0	0.0	0.0	0.0	0.0	0.0	0.0	0.0	0.1	360	1.0	95.6
1075	GY0B_100_100d	0.0	1.0	1.0	0.0	0.0	0.0	0.0	0.0	0.0	2.8	360	1.0	95.6
1076	GY0B_100_100d	0.0	1.0	1.0	0.0	0.0	0.0	0.0	0.0	0.0	2.8	360	1.0	95.6
1077	BY0B_100_100d	0.0	0.0	1.0	1.0	0.0	0.0	0.0	0.0	0.0	2.8	360	1.0	95.6
1078	BY0B_100_100d	0.0	0.0	1.0	1.0	0.0	0.0	0.0	0.0	0.0	2.8	360	1.0	95.6
1079	BY0B_100_100d	0.0	0.0	1.0	1.0	0.0	0.0	0.0	0.0	0.0	2.8	360	1.0	95.6

delta E\* = 3.8

http://130.149.60.45/~farbmetrik/QG47/QG47L0NP.PDF /.PS; Transfer Ausgabe  
N: Keine 3D-Linearisierung (OL) in Datei (F) oder PS-Startup (S), Seite 33/33

Eingabe: rgb/cmyk -> rgbd  
Ausgabe: Transfer nach cmy0d

TUB-Prüfvorlage QG47; Bunttoncode: H\*d=Y25Gd  
Farben und Farbabstände, ΔE\*